

بررسی کارایی روش AHP در تعیین مناطق مستعد خطر سیلاب شهری (مطالعه موردی: بخش مرکزی شهر تربت حیدریه)

محدثه قربانزاده - دانشجوی کارشناسی ارشد آبخیزداری، دانشکده کشاورزی و منابع طبیعی، دانشگاه تربت حیدریه
مریم آذرخشی * - استادیار آبخیزداری، دانشکده کشاورزی و منابع طبیعی، دانشگاه تربت حیدریه
ابوالفضل مساعدي - استاد هیدرولیک، دانشکده منابع طبیعی و محیط زیست، دانشگاه فردوسی مشهد
محمد رستمی خلچ - دانشجوی دکتری آبخیزداری، دانشکده منابع طبیعی، دانشگاه تهران

تاریخ دریافت: ۱۳۹۶/۴/۱۷ تاریخ پذیرش: ۱۳۹۶/۴/۲۸

چکیده

شتاب شهرنشینی و افزایش مناطق غیرقابل نفوذ در شهرها اهمیت پوادختن به مسئله سیلاب‌های شهری را بیش از پیش نمایان می‌کند. شهر تربت حیدریه در سال‌های اخیر تحت تأثیر سیلاب و خسارت‌های ناشی از آن قرار گرفته است. هدف از این پژوهش پنهان‌بندی خطر سیلاب شهری به روش تحلیل سلسله‌مراتبی (AHP) است. هفت معیار برای اجرای این تحقیق انتخاب شد: ارتفاع، شیب منطقه، فاصله از کانال اصلی، تراکم کانال‌های زهکشی، کاربری اراضی، ظرفیت کانال‌های زهکشی، و وسعت مناطق تحت پوشش هر یک از کانال‌های اصلی. نتایج نشان داد پارامتر فاصله از کانال با وزن ۰/۳۲۸ بیشترین ارجحیت را در بین پارامترها دارد. در نقشه پتانسیل خطر، بیشترین مساحت مربوط به طبقه کم خطر (۱۲۶/۸ هکتار) و کمترین مساحت مربوط به طبقه خیلی پر خطر (۲۸/۴ هکتار) به دست آمده است. درصد از منطقه خیلی پر خطر با طبقه شیب کمتر از ۴ درصد و ۵۳/۶ درصد از آن با طبقه تراکم زهکشی بیشتر از ۳۲۵ متر در هکتار همپوشانی دارد. برای مقایسه نتایج حاصل از AHP، از عمق آب گرفتگی در سه رگبار منجر به آب گرفتگی استفاده شد. نتایج نشان داد بیشترین درصد قرارگیری صحیح نقاط شاخص در طبقات نقشه پتانسیل خطر سیلاب به ترتیب در شدت‌های بالا، متوسط، و کم است.

کلیدواژه‌ها: تحلیل سلسله‌مراتبی (AHP)، تربت حیدریه، سیلاب شهری، فاصله از کانال اصلی، نقشه پتانسیل خطر.

مقدمه

براساس گزارش سازمان ملل متحد، از میان بلایای طبیعی، سیل بیشترین خسارات را به انسان وارد کرده است؛ به طوری که یک‌سوم خسارات اقتصادی بلایای طبیعی مربوط به سیل است و دو‌سوم جمعیت کره زمین به‌طور مستقیم و غیرمستقیم از عواقب آن متأثرند (امیدوار و همکاران، ۱۳۸۵). جریان سیل در حوضه‌های شهری در سطوح صاف و غیرقابل نفوذ، که با سامانه زهکشی مصنوعی توسط بشر ساخته شده است، با سرعت بالا اتفاق می‌افتد. با توجه به این عامل و به دلیل تمرکز مناطق مسکونی و فعالیت‌های مختلف تجاری و صنعتی بشر در مناطق شهری، پتانسیل تخریب سیلاب افزایش یافته و افراد بیش از پیش در معرض خطر این پدیده مخرب قرار گرفته‌اند.

در کشور ما به‌طور سنتی، سیلاب‌های رودخانه‌ای و سیلاب‌های ناگهانی در سیلاب دشت‌ها بسیار مورد توجه قرار گرفته است؛ در حالی که سیل گرفتگی در مناطق شهری به دلیل بعضی محدودیت‌ها و نبود داده‌های دقیق کمتر مورد

توجه قرار گرفته است (رستمی خلچ، ۱۳۹۰: ۲). اولین قدم در تحقیقات طرح‌های مدیریت سیالاب، تهیه نقشه پهنه‌بندی خطر سیل از طریق شناسایی نقاط با خطر سیل‌گیری زیاد و بررسی احتمال سیل‌گرفتگی اراضی کشاورزی و مناطق مسکونی و تجاری حاشیه کanal‌ها و رودخانه‌هast. روش‌های ارزیابی چندمعیاره کاربرد وسیعی در علوم از جمله در ارزیابی محیط زیست دارد. یکی از این روش‌ها، فرایند تحلیل سلسله‌مراتبی^۱ (AHP) است. فرناندز و لاتز (۹۰: ۲۰۱۰) برای پهنه‌بندی خطر سیل شهری در آرژانتین، با استفاده از آنالیز تصمیم‌گیری چندمعیاره، از معیارهای فاصله تا کanal زه‌کشی، توپوگرافی، عمق سطح آب زیرزمینی، و کاربری اراضی استفاده کردند و نقشه خطر سیالاب شهری را ارائه نمودند. این نقشه نشان‌دهنده خطر سیالاب شهری در بخش توسعه‌یافته جنوب شرقی این شهر بود که نتیجه‌ای است از پیوستگی زمین‌های پست با شبکه کمتر از ۶/۰ درصد وجود کanal‌های جریان شهری با ظرفیت نگه‌داری ضعیف. وانگ و همکاران (۱۱: ۳۴۶۵) برای ارزیابی خطر سیل در منطقه دریاچه دونگنگیگ^۲ در مرکز چین رویکرد چندمعیاره مکانی مبتنی بر GIS را به کار برند. نتایج نشان داد مناطق دارای خطر زیاد و بسیار پُرخطر به طور عمده در دشت‌های شمالی و مرکزی متمرکز شده است. چن و همکاران (۱۱: ۱۲۶۱) از یک ساختار سلسله‌مراتبی برای ارائه گزینه‌های موردنظر جهت تجزیه و تحلیل خطر وقوع سیل و تهیه نقشه خطر سیل شهر تای چونگ^۳ تایوان استفاده کردند و به این نتیجه رسیدند که ادغام AHP و GIS در ارزیابی خطر سیل می‌تواند اطلاعات دقیق و مفیدی برای مدیریت ریسک سیالاب فراهم کند. پاکوته و لاوری (۱۲: ۴۲) با استفاده از روش تجزیه و تحلیل تصمیم‌گیری چندمعیاره (MCDA) و ترکیب آن با لایه‌های GIS به ارزیابی خطر سیل در غرب فیجی^۴ پرداختند. آنان به این نتیجه رسیدند که رویکرد MCDA استفاده ساده و مؤثر را برای مدل خطر سیالاب با استفاده از داده‌های اولیه GIS فراهم می‌کند. قنبرپور و همکاران (۱۳: ۱) به ارزیابی مقایسه گزینه‌های کاهش‌دهنده سیل با استفاده از GIS و مدل سازی هیدرولیکی رودخانه و آنالیز تصمیم‌گیری چندمعیاره در رودخانه زارمروド در شمال ایران پرداختند. محدوده طغیان سیل، ارتفاع سیل، سرعت سیل، و قدرت جریان در پایین‌دست و خارج از ارتفاعی رودخانه به عنوان معیارهای تصمیم‌گیری برای هر گزینه به حساب آمدند. یافته‌های ایشان نشان می‌دهد که ساخت‌وساز خاکریز در سمت راست ساحل رودخانه، که مجاور با منطقه مسکونی نیز هست، نسبت به دو گزینه دیگر برتری دارد. استفاده از GIS و استادیز (۱۳: ۵۶۹) ارزیابی خطرهای سیل بر اساس عوامل طبیعی و انسانی را با استفاده از فرایند تحلیل سلسله‌مراتبی (AHP) انجام دادند. نتایج ایشان نشان داد که در بیشتر حوضه‌ها طبقه خطر متوسط بیشترین سهم را داشته است. نتایج حاصل و نقشه پتانسیل خطر با وقایع قدیمی سیالاب‌های اتفاق‌افتداد نیز هم‌گرایی داشته‌اند. رحمتی و همکاران (۱۶: ۱۰۰۰) پهنه‌بندی خطر سیل در بخشی از رودخانه یاسوج را با استفاده از GIS و روش تحلیل سلسله‌مراتبی انجام دادند. آنان برای ارزیابی کارایی روش AHP نتایج حاصل از آن را با نتایج مدل هیدرولیکی HEC-RAS مقایسه کردند. نتایج این تحقیق نشان داد که روش AHP می‌تواند پیش‌بینی دقیق و قابل اطمینانی برای میزان سیل‌گیری ارائه دهد. امیراحمدی و همکاران (۹۰: ۱۳۹۰) از پارامترهای کاربری اراضی، تراکم جمعیت، مسیل‌ها، طبقات شیب، تراکم مسکونی، شماره منحنی (CN)، ضریب رواناب، فضای باز، و قدمت ابنيه برای وزن دهی و سپس پهنه‌بندی خطر سیل شهری در محدوده شهر سبزوار با کمک روش تحلیل سلسله‌مراتبی استفاده کردند. نتایج ایشان نشان داد که پهنه‌های مشخص شده خطر سیالاب ۸۰ درصد منطبق با پهنه‌های مختلف از نظر شدت سیل‌گیری است. حمیدی و همکاران (۱۳۹۱: ۷) از تلفیق روش تصمیم‌گیری چندمعیاره با سامانه اطلاعات جغرافیایی برای سیستم پشتیبانی تصمیم‌گیری مدیریت سیالاب شهری استفاده کردند. نقشه پتانسیل خطر نشان داد که مناطق با ریسک خطرپذیری بالا عمدتاً در مناطق نزدیک رودخانه با تراکم ساختمانی بالا واقع شده است. صالحی و همکاران (۹۲: ۱۳۹۲) برای توسعه پهنه‌بندی خطر سیل شهری بر پایه آنالیز تصمیم‌گیری چندمعیاره و سیستم اطلاعات

1. Analytical Hierarchy process

2. Dongting

3. Taichung

4. Fiji

جغرافیایی از پنج معیار. فاصله از شبکه زهکشی، تجمع جریان، شبب، ارتفاع، و سطح اراضی ساخته شده و نشده. استفاده کردند. نقشه پتانسیل خطر نشان داده است که آبراهه‌ها، حریم آن‌ها، و نواحی مرکزی تا جنوب شهر بیشترین پتانسیل سیل خیزی را دارند.

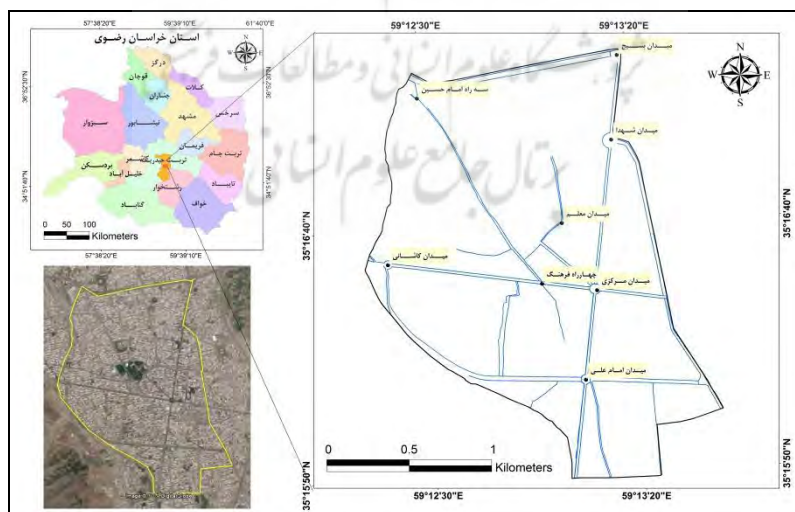
شهر تربت حیدریه، با توجه به موقعیت جغرافیایی خود، در مسیر جریان سیلاب قرار دارد. عواملی از جمله رعایت‌نکردن ضوابط شهرسازی، مسدودنمودن کانال‌ها یا تغییر مسیر آن‌ها و ورود نخاله‌های ساختمانی، زباله‌های منازل و سایر مواد زائد سبب کُندشدن انتقال جریان رواناب در زمان وقوع بارندگی می‌شوند. از طرفی، بخش مرکزی شهر عموماً با مشکل آب‌گرفتگی سطح معابر و آلودگی‌های ناشی از آن مواجه است. هدف از این مطالعه استفاده از داده‌های موجود برای ارزیابی روش تحلیل سلسله‌مراتبی و تهیه نقشه پهنه‌بندی خطر سیلاب در بخش مرکزی شهر تربت حیدریه است.

مواد و روش‌ها

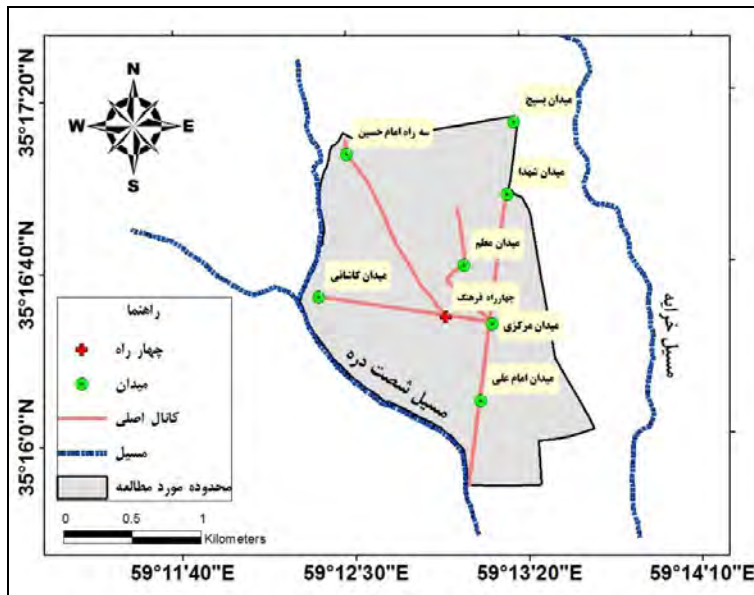
محدودهٔ مطالعه

منطقهٔ مورد مطالعه بخش مرکزی شهر تربت حیدریه است. مرکز شهر تربت حیدریه در عرض شمالی ۳۵° و طول شرقی ۱۲°۵۹ قرار گرفته است. بارش متوسط سالانه آن ۲۷۴ میلی‌متر و متوسط دمای سالانه ۱۳/۷ درجه سانتی‌گراد است. اقلیم تربت حیدریه بر اساس روش اقلیمی دومارتون نیمه‌خشک است. شهرستان تربت حیدریه از شمال با شهرستان مشهد و نیشابور، از سمت غرب با شهرستان کашمر و شهرستان بردسکن، از سمت شرق با شهرستان خوف و شهرستان تربت جام و از سمت جنوب با شهرستان گناباد همسایه است. بخش مرکزی شهر دارای مشکل آب‌گرفتگی است و منطقه‌ای با مساحت ۳۵۲ هکتار به عنوان منطقهٔ مورد مطالعه انتخاب شد. شکل ۱ موقعیت منطقهٔ مورد مطالعه را در استان خراسان رضوی و در شهر تربت حیدریه نشان می‌دهد.

مسیلهای شست دره و خرایه در اطراف منطقهٔ مورد مطالعه قرار دارند و نقش ویژه‌ای در تخلیه آبهای سطحی دارند. شکل ۲ موقعیت مسیلهای منطقهٔ مورد مطالعه را نشان می‌دهد.



شکل ۱. نقشهٔ منطقهٔ مورد مطالعه در استان خراسان رضوی و شهر تربت حیدریه



شکل ۲. موقعیت مسیل‌ها در اطراف منطقه مورد مطالعه

فرایند تحلیل سلسله‌مراتبی (AHP)

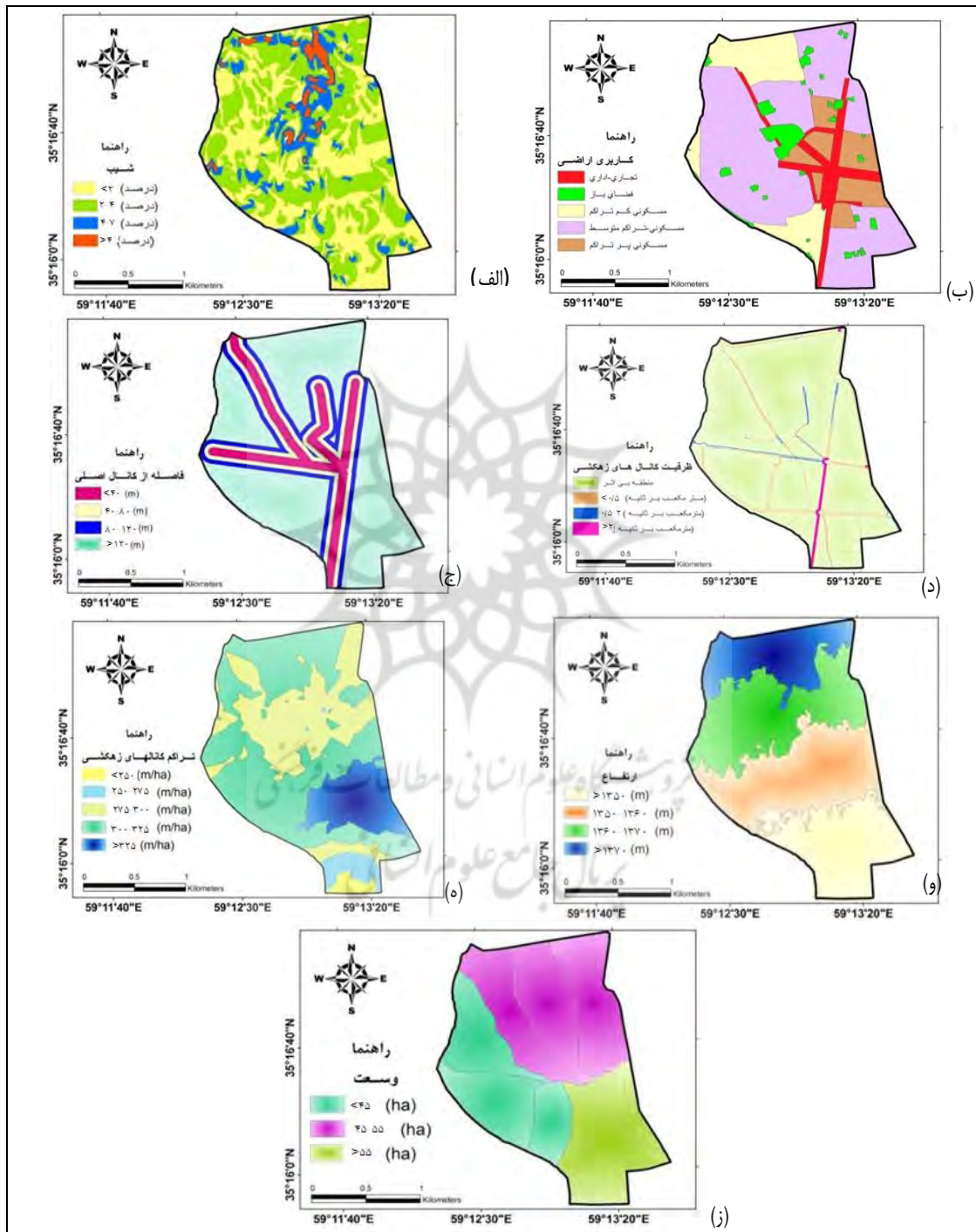
فرایند تحلیل سلسله‌مراتبی یکی از جامع‌ترین سیستم‌های طراحی شده برای تصمیم‌گیری با معیارهای چندگانه است؛ زیرا این تکنیک امکان فرموله کردن مسئله را به صورت سلسله‌مراتبی فراهم می‌کند و همچنین امکان درنظر گرفتن معیارهای مختلف کمی و کیفی را در مسئله دارد. این فرایند گزینه‌های مختلف را در تصمیم‌گیری دخالت می‌دهد و امکان تحلیل حساسیت روی معیارها و زیرمعیارها را دارد. علاوه بر این، بر مبنای مقایسه زوجی بنا نهاده شده، قضاوت و محاسبات را تسهیل می‌کند. همچنین، میزان سازگاری و ناسازگاری تصمیم را نشان می‌دهد که از مزایای ممتاز این تکنیک در تصمیم‌گیری چندمعیاره است. به علاوه، از یک مبنای تئوریک قوی برخوردار است و بر اساس اصول بدیهی (axioms) بنا نهاده شده است. میزان اعتبار تصمیم اتخاذی در روش AHP از نظر کیفی و کمی به پرسشنامه وابسته است. این پرسشنامه با کمک متخصصان، افراد و سازمان‌هایی که در فرایند تصمیم‌گیری دخالت دارند تنظیم و تکمیل می‌شود. طبق این پرسشنامه و اطلاعات جمع‌آوری شده از مبالغه اطمینان، جداول ماتریس‌های زوجی تنظیم می‌شوند. در نهایت، از بین پرسشنامه‌هایی که ضریب ناسازگاری آن‌ها کمتر از ۱/۰ باشد از طریق فرمول ۱ میانگین هندسی به دست می‌آید (قدسی‌پور، ۱۳۸۴) که در آن G غ میانگین هندسی، X_1 تا X_N درایه‌های ماتریس، و N نیز تعداد آن‌هاست.

$$\mu_G = (X_1 \times X_2 \times \dots \times X_N)^{\frac{1}{N}} \quad (1)$$

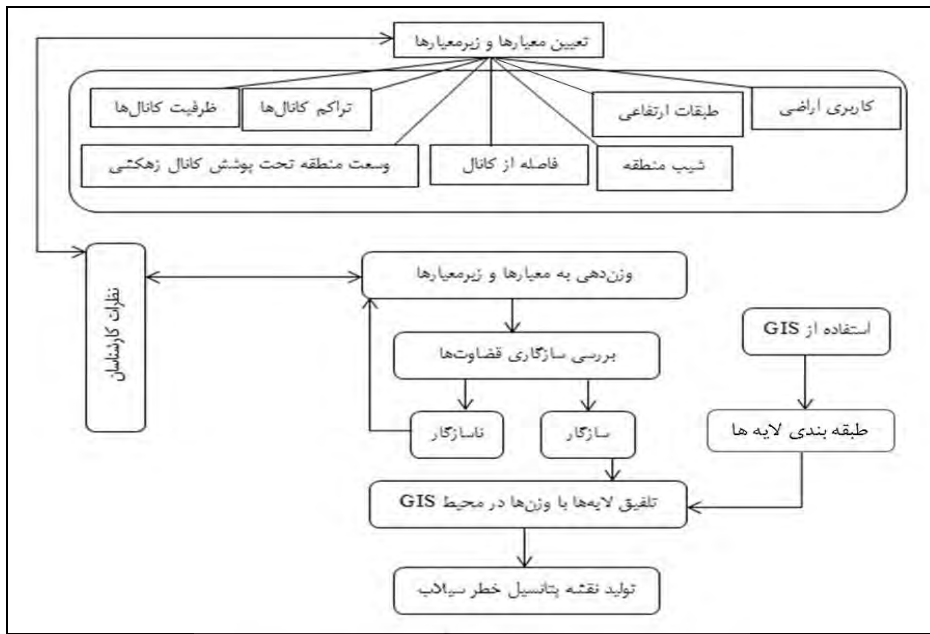
روش تحقیق

در این تحقیق نخست به شناسایی پارامترهای تأثیرگذار در سیالاب پرداخته شد. سپس، پرسشنامه اولیه‌ای از معیارها و اطلاعات مربوط به منطقه مورد مطالعه تنظیم و به کارشناسان شهرداری و نخبگان دانشگاهی ارسال شد. در مرحله اول سی پرسشنامه درباره معیارهای انتخابی و پیشنهادی بررسی شد. نهایتاً هفت معیار-ارتفاع، شب منطقه، فاصله از کanal اصلی، تراکم کanal‌های زهکشی، کاربری اراضی، ظرفیت کanal‌های زهکشی، و وسعت مناطق تحت پوشش هر یک از کanal‌های اصلی-برای پرسشنامه مرحله دوم انتخاب شد. شکل ۳ لایه‌های اطلاعاتی معیارهای انتخابی مورد استفاده در این تحقیق را نشان می‌دهد. پرسشنامه مرحله دوم به همراه اطلاعات تکمیلی توسط چهارده کارشناس خبره امتیازدهی و ماتریس مقایسه زوجی گروهی از طریق میانگین‌گیری هندسی محاسبه شد. ماتریس‌های مقایسه زوجی نهایی و زیرمعیارها برای تخمین

ناسازگاری و محاسبه وزن معیارها و زیرمعیارها وارد نرم‌افزار Expert choice 11 شد. وزن معیارها و زیرمعیارهای تعیین شده پس از محاسبه به لایه‌های تک‌تک معیارها در نرم‌افزار Arc Gis 9.3 وارد شد و نقشه پهنه‌بندی خطر سیلاب با چهار طبقه‌مناطق کم‌خطر، مناطق دارای خطر متوسط، مناطق دارای خطر زیاد، و مناطق بسیار پُرخطر به دست آمد. شکل ۴ مراحل اجرای فرایند تحلیل سلسه‌مراتبی و به کارگیری سامانه اطلاعات جغرافیایی را در این تحقیق نشان می‌دهد.



شکل ۳. نقشهٔ معیارها و کلاس‌های آن‌ها در منطقهٔ مورد مطالعه



شکل ۴. مراحل اجرای فرایند تحلیل سلسله‌مراتبی و به کارگیری سامانه اطلاعات جغرافیایی

برای مقایسه نتایج حاصل از روش تحلیل سلسله‌مراتبی با شرایط واقعی از آب‌گرفتگی سه واقعه رگبار در تاریخ‌های ۱۳۹۳/۰۸/۱۴، ۱۳۹۳/۰۸/۲۰، و ۱۳۹۳/۱۰/۲۰ بررسی شد. نقاط شاخص از نظر عمق آب‌گرفتگی در دو گروه دارای آب‌گرفتگی و فاقد آب‌گرفتگی قرار داده شدند. سپس، صحت قرارگیری آن‌ها در طبقات نقشه پتانسیل خطر سیلاب بررسی شد. نقاط فاقد آب‌گرفتگی با طبقه کم خطر و نقاط دارای آب‌گرفتگی با یکی از طبقات خطر متوسط و یا متوسط به بالا بررسی شد. درصد صحت قرارگیری نقاط برداشت شده در طبقات نقشه پتانسیل خطر سیلاب محاسبه شد.

اندازه‌گیری سطح پوشیده از سیلاب

برای مشخص کردن سطح پوشیده از سیلاب مشخصات هندسی در نقاط شاخص و ظرفیت کانال‌های زهکشی بررسی شد. برای محاسبه ظرفیت کانال‌های زهکشی از فرمول مانینگ استفاده شد که در آن ضریب زبری مانینگ به طور متوسط ۰,۰۱۵ در نظر گرفته شد و برای محاسبه عرض و عمق کanal، علاوه بر درنظرگرفتن اطلاعات موجود پروفیل کانال‌ها، به دلیل قدیمی بودن این اطلاعات، اقدام به برداشت ۱۲۹ مقطع کانال رویاز در سطح منطقه مورد مطالعه شد. و نهایتاً ظرفیت کانال‌های زهکشی در مسیرهای مختلف زهکشی در سطح منطقه محاسبه شد.

برای ترسیم پهنه سیل با استفاده از عمق آب‌گرفتگی برداشت شده به اطلاعات شیب عرضی خیابان در هر دو بخش سواره‌رو و پیاده‌رو، شیب طولی خیابان، عرض پیاده‌رو و سواره‌رو و اختلاف ارتفاع پیاده‌رو از لبه کانال نیاز بود. شیب طولی خیابان‌ها در هر بخشی که شیب ثابت به نظر می‌رسید از تقسیم اختلاف ارتفاع ابتدا و انتهای آن بخش به فاصله بین آن‌ها تعیین شد. بدین منظور، از مقادیر ارتفاعی حاصل از مدل رقومی ارتفاع و داده‌های برداشت شده از GPS استفاده شد و شیب عرضی پیاده‌رو و سواره‌رو همچنین عرض خیابان و پیاده‌رو با استفاده از اطلاعات موجود و برداشت میدانی به دست آمد. اختلاف ارتفاع لبه پیاده‌رو از کانال زهکشی در محدوده‌هایی که سواره‌رو و پیاده‌رو هم‌سطح نبودند با خطکش اندازه‌گیری شد. نهایتاً، عمق آب‌گرفتگی برداشت شده به ازای تغییرات شیب و در فواصل یک متری از مقادیر عمق آب‌گرفتگی کم شد و وسعت محدوده تحت پوشش آب‌گرفتگی محاسبه شد. در برخی از نقاط شاخص نیز، که علاوه بر عمق، عرض آب‌گرفتگی هم در زمان اندازه‌گیری برداشت شده بود، سطح آب‌گرفتگی با استفاده از اطلاعات برداشتی بررسی شد. شکل ۵ نمایی از آب‌گرفتگی در خیابان فردوسی را نشان می‌دهد.



شکل ۵. نمایی از آب‌گرفتگی معابر در منطقه مورد مطالعه (خیابان فردوسی، تاریخ ۱۴/۸/۹۳)

یافته‌های تحقیق

ماتریس مقایسه زوجی نهایی در جدول ۱ ارائه شده است. شکل ۶ نمودار میله‌ای وزن معیارها را نشان می‌دهد.

جدول ۱. ماتریس مقایسه زوجی نهایی

| معیار | شیب منطقه | فاصله از کanal | ظرفیت کanal های زه کشی | تراکم کanal های زه کشی | کاربری اراضی | طبقات ارتفاعی | وسعت منطقه تحت پوشش کanal زه کشی |
|----------------------------------|-----------|----------------|------------------------|------------------------|--------------|---------------|----------------------------------|
| شیب منطقه | ۱ | ۱ | ۲ | ۵ | ۶ | ۳ | ۷ |
| فاصله از کanal | * | ۱ | ۵ | ۶ | ۷ | ۸ | ۹ |
| ظرفیت کanal های زه کشی | * | * | ۱ | ۲ | ۳ | ۴ | ۷ |
| تراکم کanal های زه کشی | * | * | * | ۱ | ۱ | ۲ | ۴ |
| کاربری اراضی | * | * | * | * | * | ۱ | ۲ |
| طبقات ارتفاعی | * | * | * | * | * | * | ۱ |
| وسعت منطقه تحت پوشش کanal زه کشی | * | * | * | * | * | * | ۱ |



شکل ۶. نمودار میله‌ای وزن معیارها

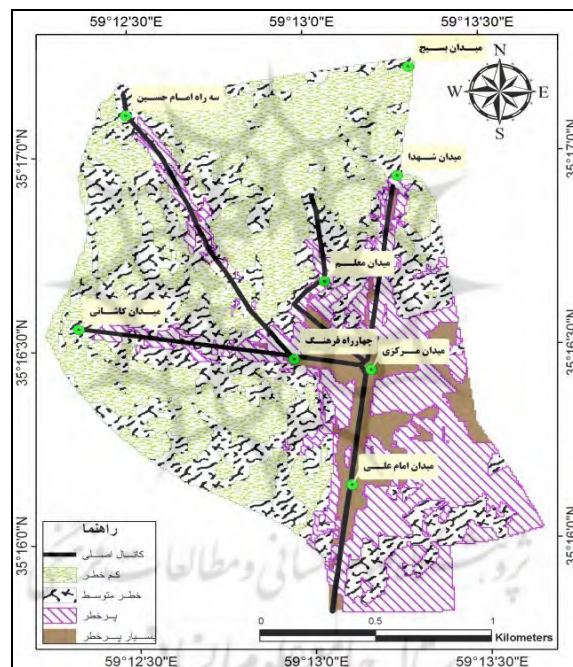
جدول ۲ وزن کلاس‌ها و لایه‌ها در منطقه مورد مطالعه نشان می‌دهد. ضریب ناسازگاری کل برای لایه‌ها در محدوده قابل قبول (کمتر از ۰/۱) قرار دارد. شکل ۶ نشان می‌دهد پارامتر فاصله از کanal (۰/۳۸۷) بیشترین وزن و وسعت منطقه تحت پوشش کanal زهکشی کمترین وزن (۰/۰۲۷) را داشته است.

جدول ۲. وزن کلاس‌ها و لایه‌ها در منطقه مورد مطالعه

| لایه‌ها | وزن | کلاس‌ها | وزن کلاس‌ها |
|---------------------------------|-------|---------------------------------|-------------|
| شیب منطقه | ۰/۲۶۸ | کمتر از ۲ درصد | ۰/۵۹۹ |
| | | ۴-۲ درصد | ۰/۲۳۳ |
| | | ۷-۴ درصد | ۰/۱۰۹ |
| | | بیشتر از ۷ درصد | ۰/۰۵۸ |
| | | ضریب ناسازگاری | ۰/۰۱ |
| فاصله از کanal | ۰/۳۸۷ | کمتر از ۴۰ متر | ۰/۵۳۱ |
| | | ۸۰-۴۰ متر | ۰/۲۵۶ |
| | | ۱۲۰-۸۰ متر | ۰/۱۳۷ |
| | | بیشتر از ۱۲۰ متر | ۰/۰۷۶ |
| | | ضریب ناسازگاری | ۰/۰ |
| طبقات ارتفاعی | ۰/۰۵۱ | کمتر از ۱۳۵۰ متر | ۰/۳۷۹ |
| | | ۱۳۵۰-۱۳۶۰ متر | ۰/۳۵۸ |
| | | ۱۳۶۰-۱۳۷۰ متر | ۰/۱۷۹ |
| | | بیشتر از ۱۳۷۰ متر | ۰/۰۸۵ |
| | | ضریب ناسازگاری | ۰/۰ |
| کاربری اراضی | ۰/۰۵۱ | فضای باز | ۰/۰۳۵ |
| | | تجاری-اداری | ۰/۳۷۸ |
| | | مسکونی پُرترکم | ۰/۳۲۰ |
| | | مسکونی تراکم متوسط | ۰/۱۸۱ |
| | | مسکونی کمترکم | ۰/۰۸۶ |
| تراکم زهکشی | ۰/۰۷۲ | ضریب ناسازگاری | ۰/۰۳ |
| | | کمتر از ۲۵۰ (متر در هکتار) | ۰/۰۴۰ |
| | | ۲۵۰-۲۷۵ (متر در هکتار) | ۰/۰۸۷ |
| | | ۲۷۵-۳۰۰ (متر در هکتار) | ۰/۱۸۸ |
| | | ۳۰۰-۳۲۵ (متر در هکتار) | ۰/۳۰۴ |
| ظرفیت کanal‌های زهکشی | ۰/۱۴۴ | بیشتر از ۳۲۵ (متر در هکتار) | ۰/۳۸۲ |
| | | ضریب ناسازگاری | ۰/۰۳ |
| | | کمتر از ۰/۵ متراً مکعب بر ثانیه | ۰/۶۱۵ |
| | | ۰/۵-۲ متراً مکعب بر ثانیه | ۰/۲۹۲ |
| | | بیشتر از ۲ متراً مکعب بر ثانیه | ۰/۰۹۳ |
| وسعت منطقه تحت پوشش کanal زهکشی | ۰/۰۲۷ | ضریب ناسازگاری | ۰/۰ |
| | | کمتر از ۴۵ هکتار | ۰/۱۴۳ |
| | | ۴۵-۵۵ هکتار | ۰/۲۸۶ |
| | | بیشتر از ۵۵ هکتار | ۰/۵۷۱ |
| | | ضریب ناسازگاری | ۰/۰ |

شیب کمتر از دو درصد با وزن (۰,۵۹۹)، طبقه فاصله از کanal کمتر از ۴۰ متر با وزن (۰,۵۳۱)، طبقه ارتفاعی کمتر از ۱۳۵ متر با وزن (۰,۳۷۹)، طبقه کاربری اراضی تجارتی - اداری با وزن (۰,۳۷۸)، طبقه تراکم زهکشی بیشتر از ۳۲۵ متر در هکتار با وزن (۰,۳۸۲)، طبقه ظرفیت کanal زهکشی کمتر از نیم متر مکعب بر ثانیه با وزن (۰,۶۱۵)، و طبقه منطقه تحت پوشش کanal زهکشی با وسعت بیشتر از ۵۵ هکتار با وزن (۰,۵۷۱) بیشترین تأثیر را در خطر سیلاب در میان هر یک از طبقات معیارها داشته‌اند. وزن نهایی به دست آمده برای هر لایه در کلیه واحدهای نقشه اعمال شد و نقشه پتانسیل خطر سیل در چهار طبقه کم خطر، خطر متوسط، پُرخطر، و خیلی پُرخطر حاصل شد که در شکل ۷ نشان داده شده است. بر اساس موارد ذکر شده، مساحت طبقات به ترتیب کم خطر ۱۲۶/۷۹ هکتار، خطر متوسط ۱۱۸/۳۰ هکتار، پُرخطر ۷۸,۶۲ هکتار، و خیلی پُرخطر ۲۸,۴۲ هکتار به دست آمده است.

جدول ۳ نتایج همپوشانی طبقات نقشه معیارها و طبقه بسیار پُرخطر در نقشه پتانسیل خطر را نشان می‌دهد. همپوشانی طبقات خطر در نقشه پتانسیل خطر منطقه و هر یک از معیارها به صورت جداگانه بررسی شد. نتایج نشان داد طبقه خیلی پُرخطر با شیب کمتر از چهار درصد همپوشانی داشته است.



شکل ۷. نقشه پتانسیل خطر منطقه مورد مطالعه

جدول ۳. درصد مساحت همپوشانی طبقه خیلی پُرخطر با طبقات نقشه معیارها

طبقه همپوشانی شده با طبقه خیلی پُرخطر درصد مساحت نسبت به کل طبقه خیلی پُرخطر

| | |
|-------|---|
| ۵۶,۴۸ | کاربری تجارتی - اداری |
| ۹۹,۰۸ | شیب کمتر از ۴۰ درصد |
| ۵۰,۴۴ | فاصله از کanal کمتر از ۴۰ متر |
| ۵۰,۹۳ | ارتفاع ۱۳۵۰ تا ۱۳۶۰ متر |
| ۵۳,۶۲ | تراکم کanal های زهکشی بیشتر از ۳۲۵ متر در هکتار |
| ۷۲,۴۱ | وسعت منطقه تحت پوشش هر کanal بیشتر از ۵۵ هکتار |
| ۶,۵۹ | ظرفیت کanal زهکشی کمتر از ۰,۵ متر مکعب بر ثانیه |

جدول ۴ انطباق وضعیت آب‌گرفتگی در رگبارهای مورد اندازه‌گیری و نقشهٔ پتانسیل خطر سیلاب حاصل از روش تحلیل سلسله‌مراتبی را نشان می‌دهد. با توجه به جدول ۴، در شدت زیاد بارندگی (تاریخ ۱۳۹۳/۱۱/۱۴)، بیشتر نقاطی که در آن‌ها آب‌گرفتگی اتفاق افتاده است در طبقات خطر متوسط به بالا قرار می‌گیرند. بیشترین درصد قرارگیری صحیح نقاط شاخص در طبقات نقشهٔ پتانسیل خطر سیلاب به ترتیب در شدت‌های بالا، متوسط، و کم است.

جدول ۴. درصد انطباق عمق آب‌گرفتگی با نقشهٔ پتانسیل خطر

| سیلاب | تعداد نقاط صحیح منطبق بر طبقات نقشهٔ خطر سیلاب | | | وضعیت نقاط برداشت شده |
|----------------------------------|--|-----------|-----------|---------------------------|
| | در تاریخ‌های وقوع بارندگی | ۱۳۹۳/۰/۱۴ | ۱۳۹۳/۱/۱۴ | |
| /۱۰/۲۰ | ۱۳۹۳ | ۱۳۹۳ | | |
| کم خطر | ۴ | ۳ | ۳ | نقاط فقد آب‌گرفتگی |
| خطر متوسط، پُرخطر، و خیلی پُرخطر | ۱۶ | ۴۴ | ۳۸ | نقاط دارای آب‌گرفتگی |
| | ۳۶/۳۶ | ۷۹/۶۶ | ۸۷/۲۳ | درصد انطباق با طبقات نقشه |
| | ۶۷/۷۵ | | | میانگین (درصد) |

با بررسی نمودارهای آنالیز حساسیت در نرمافزار Expert choice 11 مشخص شد در صورتی که تأثیر هر یک از معیارها به میزان ۱۰ درصد افزایش یابد، تأثیر سایر پارامترها کاهش خواهد یافت. اگر تأثیر هر یک از پارامترهای کاربری اراضی، تراکم کanal‌های زهکشی، ارتفاع، شبیب، وسعت منطقه تحت پوشش هر کanal، و ظرفیت کanal‌های زهکشی ۱۰ درصد افزایش یابد، بیشترین کاهش تأثیر در پارامتر فاصله از کanal اصلی اتفاق می‌افتد. ضمن اینکه اگر تأثیر پارامتر فاصله از کanal ۱۰ درصد افزایش یابد، آنگاه بیشترین کاهش در تأثیر پارامتر شبیب دیده می‌شود. نقاط پُرتكار آب‌گرفتگی پس از ترسیم پهنۀ سیل با استفاده از عمق آب‌گرفتگی برداشت شده و وضعیت هندسی در نقاط شاخص به دست آمد که انطباق بسیار زیادی با مناطق بسیار پُرخطر در نقشهٔ پتانسیل خطر سیلاب داشته است.

بحث و نتیجه‌گیری

با توجه به نتایج این تحقیق، با ادغام تحلیل سلسله‌مراتبی و سیستم اطلاعات جغرافیایی می‌توان مکان‌های دارای خطر سیلاب در شهر را به طور نسبتاً دقیق مشخص کرد که با نتایج چن و همکاران (۱۳۹۱: ۲۰۱۱) و آقافرهادی و آموسی (۱۳۸۹: ۵) مطابقت دارد. نتایج ارزیابی پتانسیل خطر سیلاب شهری تربت حیدریه با AHP نشان داد که به طور متوسط در ۶۷/۷۵ درصد موارد نتایج این روش با واقعیت همخوانی دارد و هر چه شدت بارش افزایش یابد درصد تطبیق بیشتر می‌شود. نتایج مشابهی فرناندز و لاتز (۹۷: ۲۰۱۰) اراده کرده‌اند. در این تحقیق مهم‌ترین پارامتر در زمینه خطر سیلاب، از نظر کارشناسان، فاصله از کanal اصلی بوده است. در نقشهٔ پتانسیل خطر نیز مناطق بسیار پُرخطر و پُرخطر اغلب در نزدیک کanal اصلی قرار دارند. در مطالعات رحمتی و همکاران (۱۳۹۱: ۲۰۱۶)، فرناندز و لاتز (۹۷: ۲۰۱۰)، صالحی و همکاران (۱۳۹۱: ۱۸۷)، امیراحمدی و همکاران (۱۳۹۰: ۳۰)، و حمیدی و همکاران (۱۳۹۱: ۷) نیز فاصله از کanal اصلی مهم‌ترین پارامتر مؤثر در سیلاب شهری معرفی شده است. اما در تحقیق پاکوته و لاوری (۲۰۱۲: ۳۸) پارامتر فاصله از کanal وزن کمتری از سایر معیارها به خود گرفته است و علت آن این است که ایشان، به جای فاصله از کanal، از فاصله تا رودخانه استفاده کرده‌اند. کاربری تجاری - اداری بیشترین وزن و فضای باز کمترین وزن را در میان کاربری‌های طبقه‌بندی شده به خود اختصاص داده‌اند. در نتایج چان و همکاران (۲۰۰۰: ۲)، فرناندز و لاتز (۹۷: ۲۰۱۰) نیز همین شرایط برقرار است. مناطق تجاری - اداری به دلیل تمرکز جمعیت و سرمایه‌گذاری‌های اقتصادی پتانسیل خطر بیشتری از نظر اقتصادی دارند و در اثر وقوع سیلاب خسارت بیشتری متحمل می‌شوند. در منطقه مورد مطالعه بخش درخور توجهی

از کاربری تجاری - اداری منطبق با مسیر کanal اصلی است و همچنین در محدوده مناطق بسیار پُرخطر قرار دارد؛ بنابراین، جزو مناطق حساس به آبگرفتگی در بارندگی‌ها به شمار می‌رود. در این تحقیق با مقایسه نقشه تراکم زهکشی و نقشه پتانسیل خطر نهایی به دست آمده از روش تحلیل سلسله‌مراتبی و همچنین برداشت‌های میدانی مشخص شده است که مناطق بسیار پُرخطر و پُرخطر همپوشانی در خور توجهی با مناطق دارای تراکم زهکشی بالا دارند. با توجه به نقشه پتانسیل خطر، محدوده میدان مرکزی تا جنوب منطقه مورد مطالعه بیشترین پتانسیل خطر را دارا هستند. البته، سابقه آبگرفتگی در این مناطق نیز طبق برداشت‌های میدانی وجود دارد. تطابق مناطق بسیار پُرتراکم با مناطق بسیار پُرخطر در نقشه پتانسیل با نتایج حمیدی و همکاران (۱۳۹۱: ۷) و استفانیدیز و استادیز (۲۰۱۳: ۵۸۳) مطابقت دارد. آنالیز حساسیت پارامترها توسط نرم‌افزار EC نشان داد که پارامتر فاصله از کanal حساس‌ترین فاکتور در تحلیل است که با نتایج فرناندز و لاتر (۹۷: ۲۰۱۰) در مطالعه سیلاب در شهر یربابوانا^۵ آرژانتین مطابقت دارد. در مرکز تربت حیدریه، از جمله ویژگی‌های منطقی که در محدوده با ریسک خطرپذیری بالا واقع می‌شوند می‌توان به تراکم کanal‌های زهکشی، توبوگرافی پست، شبکه کمتر از ۴ درصد، و وسعت زیاد منطقه‌ای که کanal زهکشی آن را به عهده دارد اشاره کرد. سیستم جمع‌آوری آب‌های سطحی در منطقه مورد مطالعه جواب‌گوی حجم رواناب موجود در سطح منطقه نیست و بخشی از خیابان‌ها حتی در یک بارندگی کوچک نیز دچار آبگرفتگی شدید می‌شوند و ضمناً بسیاری از خیابان‌ها و محله‌های جدید در منطقه فاقد کanal یا دارای کanal‌هایی با حجم کم هستند. مهم‌ترین دلایل وقوع آبگرفتگی عبارت‌اند از: کمبودن سطح مقطع کanal‌ها، شبکه کم بعضی از کanal‌ها، عدم پوشش برخی خیابان‌ها به وسیله کanal، مسدودشدن کanal‌ها با زباله‌ها و نخاله‌های ساختمانی و دفع رواناب پشت بام‌ها و منازل به سمت خارج از منزل.

در مناطق شهری سرمایه‌گذاری‌های اقتصادی زیادی انجام می‌گیرد و مدیریت مشکلات شهری و ساماندهی آن‌ها نیز به سرمایه‌گذاری‌های هنگفتی نیاز دارد. یک ابزار اصلی در استاندارهای مدیریتی استفاده از قضاوت خبرگان است که برای حل موضوعات شهری در قالب یک روش صحیح کمتر به آن توجه می‌شود. بنابراین، استفاده از روش‌های تصمیم‌گیری و مدیریتی در برنامه‌ریزی‌های شهری در کنار استفاده از سیستم اطلاعات جغرافیایی می‌تواند راهگشایی بسیار مناسبی در اولویت‌بندی‌های مربوط به اقدامات اجرایی باشد.

منابع

- آفراهادی، ع. و آموسى، ف. (۱۳۸۹). بررسی استفاده از سیستم GIS در کنترل سیلاب‌های شهری (مطالعه موردی بخش الموت استان قزوین)، کنفرانس ملی مدیریت سیلاب‌های شهری، تهران، ص ۱-۸.
- امیدوار، ب؛ غضبان، ف؛ امامی، ک. و خدایی، ه. (۱۳۸۵). مدیریت ریسک سیلاب با استفاده از روش تصمیم‌گیری چندمعیاره در سه زیرحوضه استان گلستان، اولین همایش مقابله با سوانح طبیعی، ۵ دی، تهران.
- امیراحمدی، ا؛ بهنیافر، ا. و ابراهیمی، م. (۱۳۹۰). ریز پهنه‌بندی خطر سیلاب در محدوده شهر سبزوار در راستای توسعه پایدار شهری، فصل‌نامه آمایش محیط، ۱۶: ۱۷-۳۲.
- حمیدی، ن؛ وفاخواه، م. و نجفی، ا. (۱۳۹۱). تهیه نقشه خطر سیلاب شهری با استفاده از سامانه اطلاعات جغرافیایی و روش تصمیم‌گیری چندمعیاره مکانی، همایش ملی سامانه‌های سطوح آبگیر، ۲۲ تا ۲۳ آذر، مشهد، صص ۱-۸.
- رسنمی خلچ، م. (۱۳۹۰). پهنه‌بندی خطر سیل شهری با استفاده از تلفیق مدل‌های هیدرولوژیکی و هیدرولیکی، پایان‌نامه کارشناسی ارشد آبخیزداری، استاد راهنمای: دکتر محمد مهدوی، دانشگاه تهران.
- صالحی، ا؛ رفیعی، ا؛ فرزاد بهتاش، م. و آقابابایی، م.ت. (۱۳۹۲). پهنه‌بندی خطر سیلاب شهری با استفاده از GIS و فرایند تحلیل سلسله‌مراتبی فازی (مطالعه موردی: تهران)، مجله محیط‌شناسی، ۳(۳): ۱۷۹-۱۸۸.
- قدسی‌پور، س.ح. (۱۳۸۴). فرایند تحلیل سلسله‌مراتبی AHP، تهران: انتشارات دانشگاه صنعتی امیرکبیر (پایی تکنیک تهران).

- Aghafarhadi, A. and Amousi, f. (2011). The Consideration for Use of GIS System in the Control of City Flood Water, *National conference of urban floods management*, Tehran, Iran, PP.1-8.
- AmirAhmadi, A.; Behniafar, A. and Ebrahimi, M. (2013). Microzoniation of flood risk in sabzevar suburd with the aim of sustainable urban development, *Quarterly Journal of Environmental based territorial Planning*, 16: 17-32.
- Chan, F.; Chan, M. and Tang, N. (2000). Evaluation methodologies for technology selection, *Journal of Materials Processing Technology*, 107(1-3): 330-337.
- Chen, Y.-R.; Yeh, C.-H. and Yu, B. (2011). Integrated application of the analytic hierarchy process and the geographic information system for flood risk assessment and flood plain management in Taiwan, *Natural hazards*, 59(3): 1261-1276.
- Fernández, D. and Lutz, M. (2010). Urban flood hazard zoning in Tucumán Province, Argentina, using GIS and multicriteria decision analysis, *Engineering Geology*, 111(1): 90-98.
- Ghanbarpour, M.; Salimi, S. and Hipel, K. (2013). A comparative evaluation of flood mitigation alternatives using GIS-based river hydraulics modelling and multicriteria decision analysis, *Journal of Flood Risk Management*, 6(4): 319-331.
- GhodsiPour, S.H. (2005). *Analytical Hierarchy Process*, the Second Edition, Published by Amir Kabir University (Tehran Polytechnic), Iran.
- Hamidi, N.; Vafakhah, M. and Najafi, A. (2013). Urban Flood Hazard Mapping Using GIS and Spatial Multi-criteria Decision-making Methods, *National Conference of Pond Systems*, 12-13 December, Mashhad, PP. 1-8.
- Omidvar, B.; Ghazaban, F.; Emami, K. and Khodaie, H. (2007). Flood Risk Management Using Multi-criteria decision-making Methods in Three Sub-basin in Golestan Province, The First Conference on Coping with Natural Disaster, 5 January, Tehran.
- Paquette, J. and Lowry, J. (2012). Flood hazard modelling and risk assessment in the Nadi River Basin, Fiji, using GIS and MCDA, *The South Pacific Journal of Natural and Applied Sciences*, 30(1): 33-43.
- Rahmati, O.; Zeinivand, H. and Besharat, M. (2016). Flood hazard zoning in Yasooj region, Iran, using GIS and multi-criteria decision analysis, *Geomatics, Natural Hazards and Risk*, 17(3): 1000-1017.
- Rostami Khalaj, M. (2011). Mapping Urban Flood Hazard Using a Combination of Hydrological and Hydraulic Models, Ms.Thesis of Watershed Management Engineering, Supervisor: dr. Mahdavi, M., University of Tehran.
- Salehi, E.; Rafii, Y.; Farzad Behtash, M.R. and Aghababai, M.T. (2013). Urban Flood Hazard Zonation Using GIS and Fuzzy-AHP Analysis (Case study: Tehran city), *Journal of Environmental Studies*, 39(3): 179-188.
- Stefanidis, S. and Stathis, D. (2013). Assessment of flood hazard based on natural and anthropogenic factors using analytic hierarchy process (AHP), *Natural hazards*, 68(2): 569-585.
- Wang, Y.; Li, Z.; Tang, Z. and Zeng, G. (2011). A GIS-based spatial multi-criteria approach for flood risk assessment in the Dongting Lake Region, Hunan, *Central China. Water resources management*, 25(13): 3465-3484.